

**ЗАКОНОМЕРНОСТИ СОСТАВА АКЦЕССОРНОЙ И РУДООБРАЗУЮЩЕЙ
ХРОМИШПИНЕЛИ В УЛЬТРАМАФИТАХ ПЕРВОМАЙСКОГО МАССИВА**

**И.С. Чашухин, В.М. Мамина, А.В. Сурганов, В.А. Чашухина,
Л.Д. Булыкин, В.Г. Гмыра**

Первомайский массив альпинотипных ультрамафитов площадью 210 км² расположен в 40 км к северу от г. Екатеринбурга и в 30 км к западу от г. Режа; вытянут в меридиональном

ПЕТРОЛОГИЯ, ПАЛЕОВУЛКАНОЛОГИЯ

направлении на 30-40 км при максимальной ширине 7-8 км. Массив сложен преимущественно апогарцбургитовыми антигоритовыми и хризотил-лизаидитовыми серпентинитами с участками петельчато серпентинизированных гарцбургитов. Дуниты и аподунитовые серпентиниты развиты в северной половине массива и образуют в гарцбургитах субмеридионально вытянутые линзовидные тела до 3 км длиной, обычно 0,5-1 км. С юга ультрамафиты окружены почти непрерывной полосой габбро, образующего между пос. Первомайский и Каменные Ключи крупное тело, отделенное от гарцбургитов каймой пород дунит-верлит-клинопироксенитового комплекса. С запада и востока ультрамафиты и габбро окаймлены вулканогенно-осадочными породами среднепалеозойского возраста. В среднюю часть массива внедрено вытянутое тело гранитоидов протяженностью около 15 км, содержащее ксенолиты серпентинитов. Вместе с габбро гранитоиды разделяют поле ультрамафитов на две относительно равные части – северо-восточную и юго-западную, хорошо прослеживающиеся в магнитном поле. Собственно Первомайский массив с запада и востока сопровождается ленточными телами серпентинитов размером (0,1+1,0)х(0,5+6,0) км.

Как и остальные ультрамафитовые массивы восточного склона Среднего Урала, Перв-

вомайский массив эродирован слабо и практически полностью закрыт лесами и болотами. Коренные выходы ультрамафитов наблюдались в крутом северном борту Режевского пруда, в карьерах хромитовых рудопроявлений и в редких скальных обнажениях некоторых вершин.

Начиная с 60-х годов XIX и до конца 20-х годов XX века, были открыты и разрабатывались многочисленные мелкие месторождения и рудопроявления. К настоящему времени их насчитывается более 60. Хромитопроявления по площади массива распределены неравномерно и условно объединены в три рудных поля: Северное (Первомайско-Карабасьевская группа), Центральное (Талицкая группа) и Южное (Черемисско-Корельская группа) (таблица). В связи с выработкой большинства месторождений добывача хромитов была прекращена к концу 1931 г.

В последние годы геологи Исетской партии Среднеуральской геолого-разведочной экспедиции провели поиски и ревизию ранее открытых хромитопроявлений Первомайского массива. Часть каменного материала партии по хромититам и вмещающим породам составила вещественную основу проведенного исследования. Дополнительно было детально опробовано месторождение Лебяжинское III и пройдены геологические пересечения к северу и югу от Режевского пруда. Схема размещения рудопроявления

Хромитопроявления Первомайского массива

№ р/п	Название рудопроявления	№ р/п	Название рудопроявления	№ р/п	Название рудопроявления
Южное рудное поле:					
1	Трестовское	23	Петуховское I	306	51 квартал
2	Карабасьевское I	24	Петуховское II	56	Яичное I
3	Карабасьевское II	25	Серафимовское	57	Яичное II
4	Карабасьевское III	26	Первомайское	58	Абрамовское
6	Карабасьевское V	27	Кирпичевское	59	Каменное
7	Карабасьевское VI	45	Элен I, II		
8	Карабасьевское VII	46	Артельное		
9	Чудское I	47	Людмилинское		
10	Владимирское	48	Брагинское		
11	Боровское	49	Вкрапленное		
12	Качкинское I	50	Горное		
13	Качкинское II	51	Пьяный Лог		
14	Качкинское III	52	Мостовское		
15	Качкинское IV	53	Чудское I		
16	Грошевское I	54	Чудское II		
17	Грошевское II	55	Скв. 4034		
Центральное рудное поле:					
18	Лупповское	28	Талицкое	41	У тракта
19	Базисное	28а	Ивановское	42	Черемисское I
20	Теребейниковское	29	Новое Дело	43	Черемисское II
21	Чадовские I, II	30	35 квартал	44	Зверевское
22	Чадовские III, IV	30а	Куражинское		

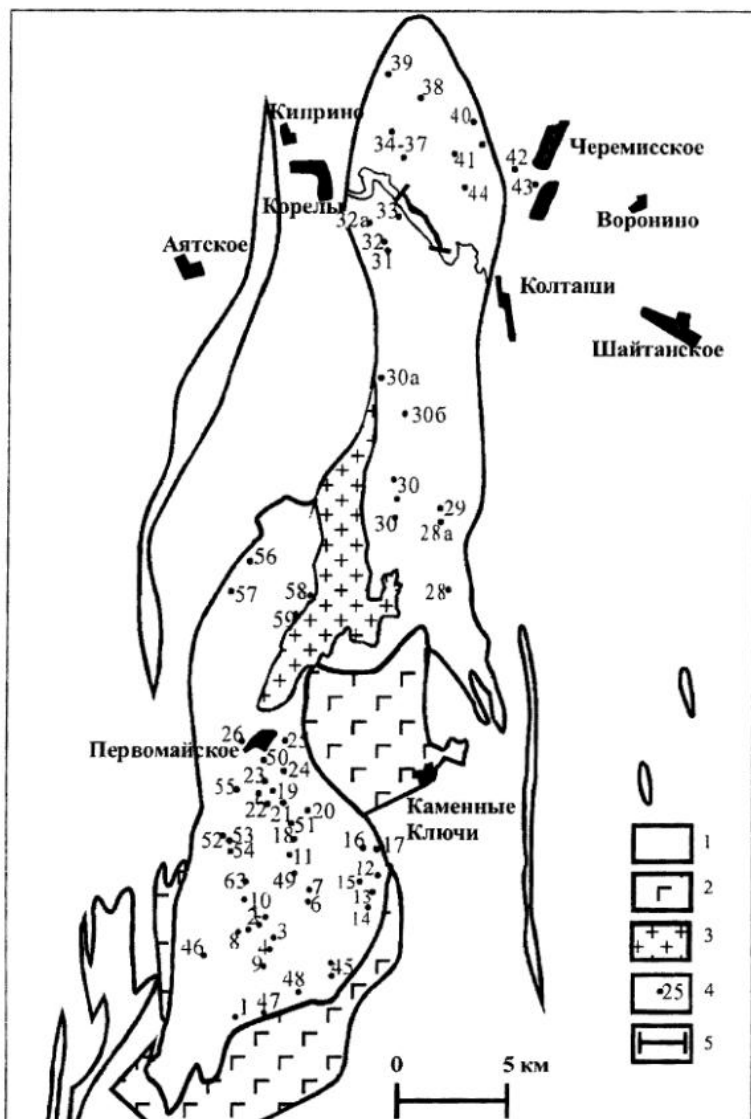


Рис. 1. Схема размещения месторождений и рудопроявлений хромитовых руд Первомайского массива.

1 – породы дунит-гарцбургитового комплекса и серпентиниты по ним. 2 – габброиды, 3 – гранитоиды, 4 – хромитопроявления, 5 – линия маршрута. Названия хромитпроявлений приведены в таблице ниже.

роявлений и линия пересечения приведены на рис. 1. Всего изучено 218 образцов. Во всех образцах микрорентгеноспектральным методом определен состав хромшпинели, определена плотность и массовая доля магнетита методом магнитного насыщения, изучен петрографический состав. В 39 образцах методом СРМ (ИГГ УрО РАН, руководитель Н.П. Горбунова) определен химический состав вмещающих ультрамафитов.

Ультрамафиты Первомайского массива испытали интенсивный метаморфизм зеленосланцевой фации с образованием антигоритовых и хризотил-лизардитовых серпентинитов. Изучение петрохимии ультрамафитов показало, что этот процесс привел к нарушению первичных соотношений петrogenных элементов. Поэтому ее использование для реконструкции первично-го минерального состава ультрамафитов некорректно и должно контролироваться данными изучения состава акцессорной хромшпинели.

Доказательства аллохимизма метаморфических процессов в ультрамафитах массива следующие.

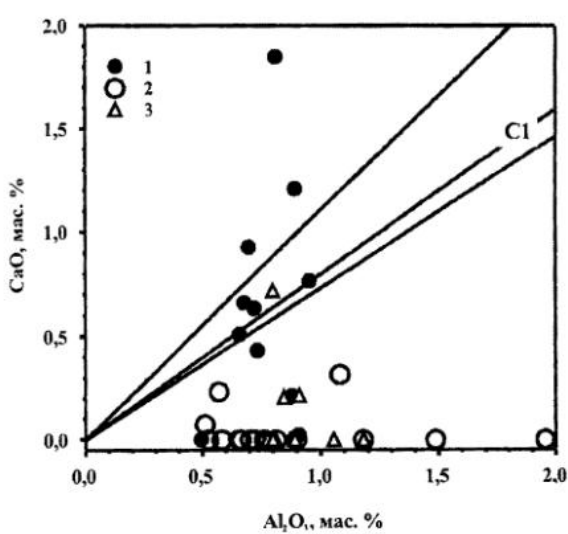


Рис. 2. Соотношения массовых долей Al_2O_3 и CaO в ультрамафитах Первомайского массива относительно хондрита C1 и альпинотипных ультрамафитов в целом.

1 – частично антигоритизированные ультрамафиты, 2 – антигоритовые серпентиниты, 3 – хризотил-лизардитовые серпентиниты.

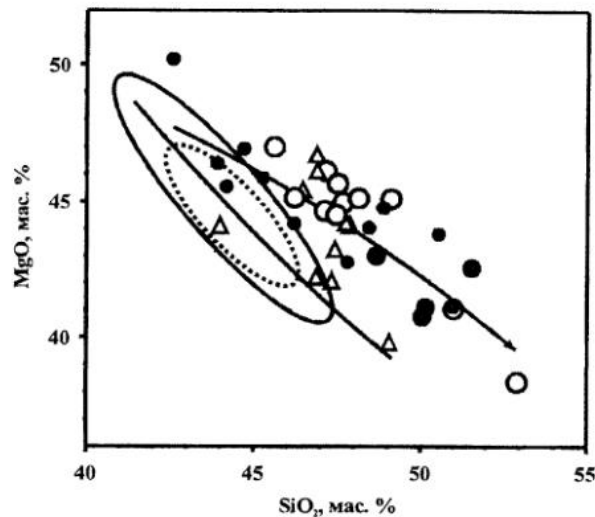
Рис. 3. Соотношения массовых долей SiO_2 и MgO в ультрамафитах Первомайского массива.

Условные обозначения те же, что на рис. 2. Эллипсы: сплошная линия – несерпентинизированные ультрамафиты из скв. 639 Кемпирсайского массива, пунктириная – неметаморфизованные ультрамафиты Войкаро-Сынинского массива. Стрелкой показан тренд нарушения первичных соотношений SiO_2 и MgO при прогрессивной серпентинизации пород Первомайского массива.

Наиболее чувствительным индикатором сохранности первичного химического состава служит величина отношения массовых долей глинозема и извести. На рис. 2 приведены данные по образцам, отобранным по северному берегу Режевского пруда. Выборка представлена в разной степени антигоритизированными ультрамафитами и хризотил-лизардитовыми серпентинитами; не затронутые прогрессивным метаморфизмом ультрамафиты не обнаружены. Отчетливо видно, что подавляющая часть образцов находится вне области вариаций $\text{Al}:\text{Ca}$ -отношения, свойственных для альпинотипных ультрамафитов. При этом, если в частично измененных породах величины отношения отклоняются в обе стороны от хондритового, то в серпентинитах налицо почти полный вынос извести.

Также выявлено нарушение соотношения массовых долей MgO и SiO_2 . На рис. 3, помимо данных по Первомайскому массиву, показаны поля составов несерпентинизированной дунит-гарцбургитовой серии Кемпирсайского массива и петельчатого серпентинизированных гарцбургитов Войкаро-Сынинского. Если в двух последних соотношение магнезии и кремнекислоты одинаково, что свидетельствует о сохранении соотношений этих компонентов при ранней серпентинизации, то при преобразовании серпентинизированных ультрамафитов в антигоритовые и хризотил-лизардитовые серпентиниты налицо несомненный вынос MgO и (или) привнос SiO_2 . Это приводит к существенному – на 20–25 мас. % – завышению против истинной массовой доли расчетного количества пироксена.

Для восстановления первичного состава ультрамафитов, как и в ранее изученных нами Алапаевском и Восточнотагильском массивах [Чашухин и др., 2001, 2002], был использован химический состав акцессорной хромшпинели, прежде всего величина хромистости ($\text{Cr}/(\text{Cr}+\text{Al})$). Химизм хромшпинели в сочетании с геологическими данными, как прави-



ло, позволяет различать продукты магматического деплетирования и последующих метасоматических и метаморфических преобразований альпинотипных ультрамафитов. Важно то, что при метаморфизме зеленосланцевой фации реликты хромшпинели, как правило, сохраняются.

Закономерности состава ультрамафитов Первомайского массива

На рис. 4 приведены данные о составе акцессорных хромшпинелей Первомайского массива. Раздельная демонстрация данных по гарцбургитам и дунитам обусловлена следующим. Ранее нами была показана аккреционная природа некоторых уральских массивов (Кемпирсайского, Южнокракинского, Алапаевского, Восточнотагильского), обоснованная различной степенью деплетирования и разным редокс-состоянием ультрамафитов, слагающих пространственно разобщенные фрагменты массивов [Чашухин и др., 1994, 1996, 2001, 2002]. Такой вывод мог быть сделан только на материале гарцбургитов и лерцолитов, образованных путем магматического деплетирования. Дуниты по своей природе гетерогенны и могут быть продуктом как магматического деплетирования, так и метасоматоза гарцбургит-лерцолитовых серий. Метасоматический генезис дунитов устанавливается, прежде всего, по геологическим данным, а также по унаследованности дунитами состава хромшпинелей и оливина вмещающих гарцбургитов, как было показано нами на примере Войкаро-Сынинского, Кемпирсайского и Алапаевского массивов.

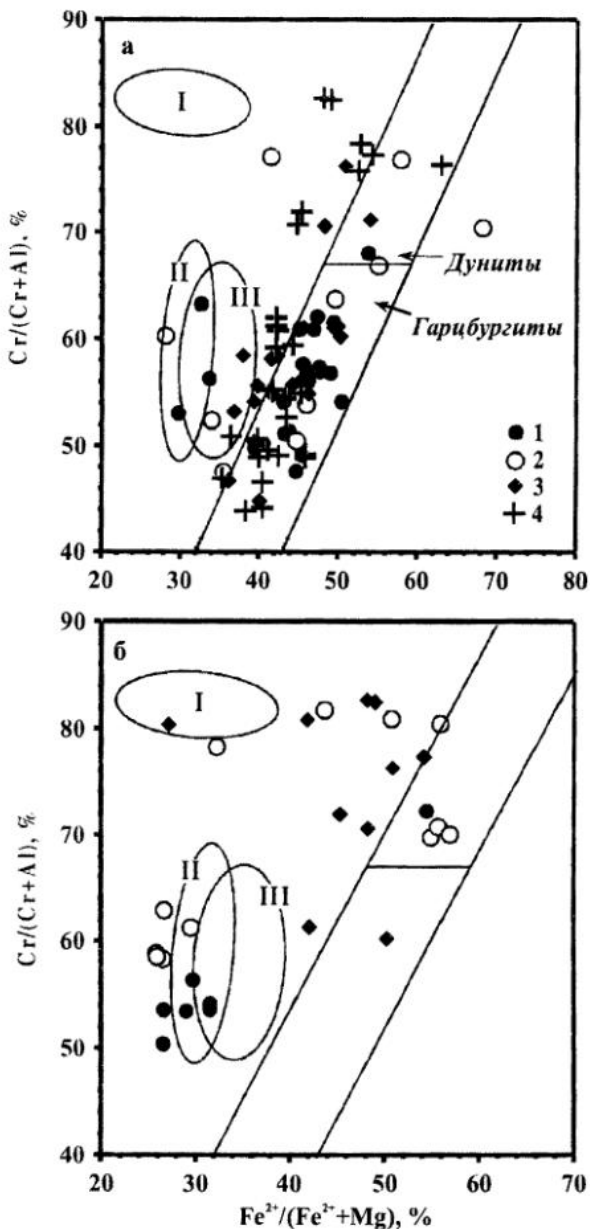


Рис. 4. Состав акцессорных хромшпинелей из гарнитургитов (а) и дунитов (б) Первомайского массива

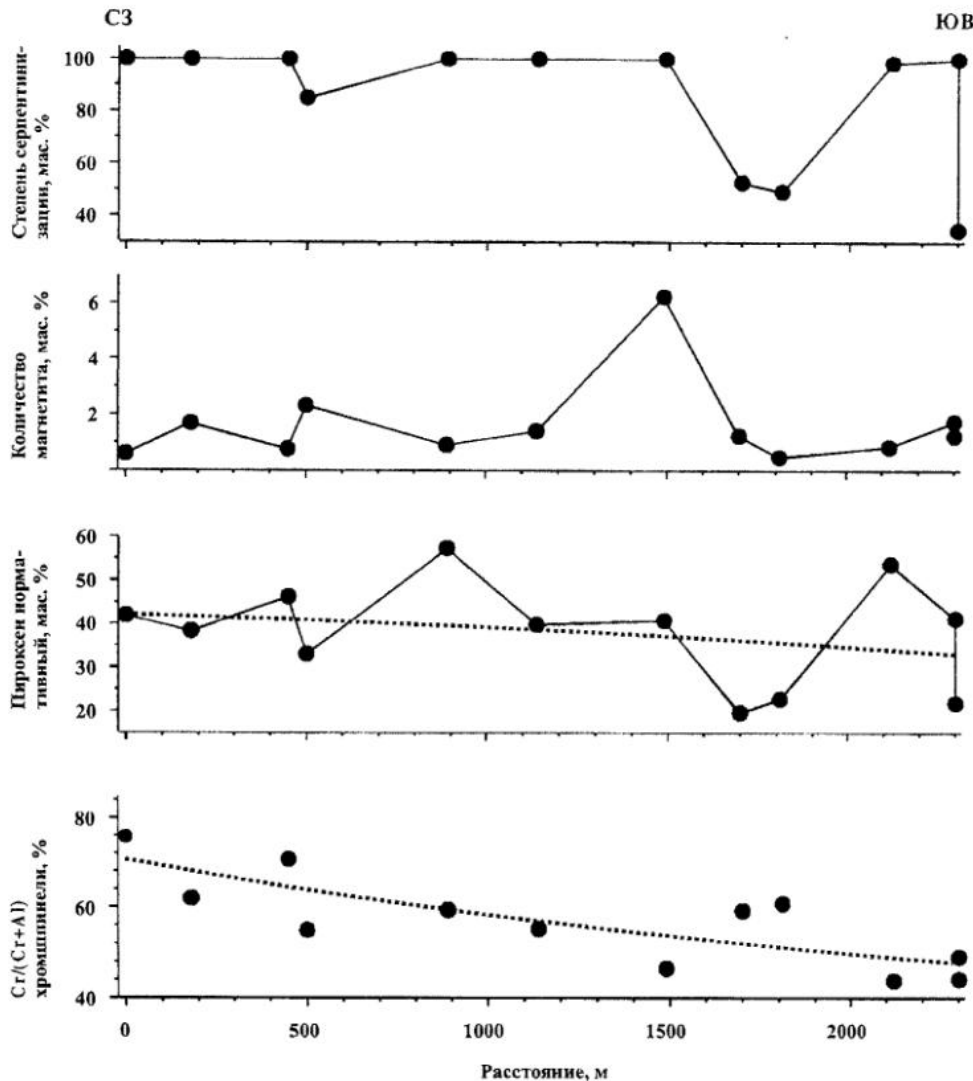
1-3 – рудные поля: 1 – Южное, 2 – Центральное, 3 – Северное; 4 – северный берег Режевского пруда. Эллипсы – поля составов рудообразующих шпинелей; I – главное рудное поле Кемпирсайского массива; II и III – Алапаевский массив, северное (II) и южное (III) рудные поля.

ва [Чашухин и др., 1994, 1996, 2001]. В связи с плохой обнаженностью, поверхностным выветриванием и постсерпентиновым метаморфизмом ультрамафитов Первомайского массива, мы не смогли при полевых наблюдениях выяснить взаимоотношения дунитов с гарнитургитами. Анализ данных по составу акцессорных хромшпинелей позволяет сделать следующие выводы: 1. Несмотря на постепенное увеличение с юга на север степени дифференцированности гарнитургитов, рассчитанный коэффициент вариации величины хромистости хромшпинели ($\text{Cr}^{\#} = \text{Cr}/(\text{Cr}+\text{Al})$) в этом направлении возрастает с 5 до 11 %, среднее значение $\text{Cr}^{\#}$ (т.е. степени деплетирования) остается постоянным. Можно утверждать, что фрагментация Первомайского массива на северо-восточную и юго-западную части произошла после окончательного формирования ультрамафитов. 2. Хромистость хромшпинели из дунитов также закономерно увеличивается с юга на север, т.е. наследует состав гарнитургитов, что не исключает метасоматическую природу дунитов. 3. Хромшпинель четверти образцов гарнитургитов и подавляющей части образцов дунитов по величине железистости может быть отнесена к рудообразующей, на диаграмме «железистость–хромистость» ее поле смешено влево относительно полей составов акцессорных хромшпинелей. Но если этот вывод вполне предсказуем для ультрамафитов непосредственно вмещающих оруденение, то принадлежность значительной части акцессорной хромшпинели к рудообразующей из образцов, отобранных вдали от известных хромитопроявлений, позволяет высказать предположение о потенциальной рудоносности ультрамафитов, обнаженных по берегам Режевского пруда. На рис. 5. приведены вариации хромистости хромшпинели, массовых долей нормативного пироксена, магнетита и степени серпентинизации в ультрамафитах этой части массива. Породы представлены исключительно гарнитургитами, частично или полностью преобразованными в серпентиниты. Помимо наблюдений под микроскопом, об этом свидетельствуют результаты определения потерь при прокаливании и замеров плотности пород. Только в трех образцах, отобранных из будин частично антигоритизированных гарнитургитов, закатанных в хризотил-лизардитовые серпентиниты, степень серпентинизации снижена до 40-60 мас. %. Начинается слабая корреляция между степенью серпентинизации и содержанием магнетита. Для образцов серпентинитов характерно нереально высокое, рассчитанное по соотношению суммы оснований к кремнекислоте, количество нормативного пироксена – 40-60 мас. %, подтверждающее

Рис. 5. Вариации состава хромшпинели, массовых долей нормативного пироксена, магнетита и степени серпентинизации в гарцбургитах, обнажающихся на северном берегу Режевского пруда.

Пунктирные линии – полиномы 2-ой степени.

щее приведенные выше данные об аллохимическом характере прогрессивного метаморфизма ультрамафитов массива. В то же время в частично серпентинизированных гарцбургитах количество расчетного пироксена снижается до 20-25 мас.% и близко к реальному. Таким образом, только хромистость акцессорной хромшпинели отражает исходный состав ультрамафитов и, соответственно, степень их магматического источения. В нашем случае она однозначно свидетельствует о закономерном увеличении степени деплетирования гарцбургитов с востока на запад – картина, аналогичная ранее установленной для северной части Восточнотагильского массива. Так как по геолого-геофизическим данным в обоих массивах тела ультрамафитов имеют западное падение, то глубина эрозионного среза массивов увеличивается с запада на восток. Таким образом, можно предположить, что степень магматического деплетирования ультрамафитов в указанных фрагментах массивов с глубиной уменьшается.



Закономерности состава рудообразующей хромшпинели

В нашем распоряжении был материал по 38 из 61 известным хромитопроявлениям Первомайского массива. Как правило, рудопроявление состоит из 3-12 рудных тел, расположенных на расстоянии 30-200 м друг от друга. Размеры рудных тел колеблются в пределах 3-55 м по простирианию и 0,5-15 м по мощности. Форма тел преимущественно линзовидная (характерно для Южного рудного поля), реже гнездовидная и столбообразная (Северное рудное поле).

Среди руд встречены все разновидности хромититов по густоте вкрапленности – от узких до сплошных; статистически в Южном рудном поле преобладают массивные хромититы, в Центральном и Северном – вкрапленные. Для хромитопроявлений Центрального рудного поля нередки полосчатые и ленточные руды.

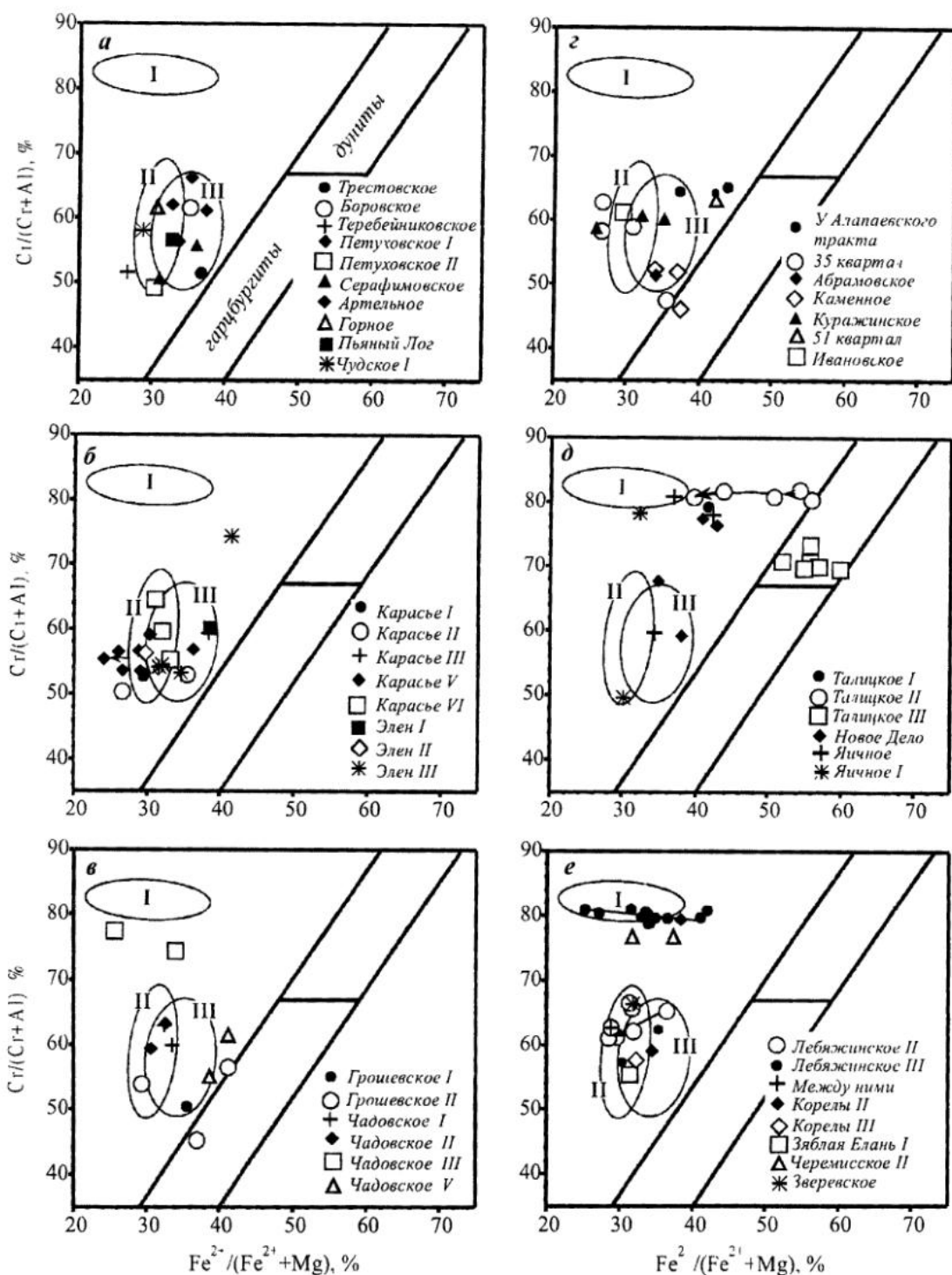


Рис. 6. Составы рудообразующих хромшпинелей в различных рудопроявлениях Первомайского массива

а-в – Южное рудное поле, г-д – Центральное рудное поле, е – Северное рудное поле. Эллипсы: I – Главное рудное поле Кемпирсайского массива, II, III – Южное и Северное рудные поля Алапаевского массива, соответственно.

Составы рудообразующих хромшпинелей приведены на рис. 6. Подавляющая часть укладываются в три не перекрывающиеся между собой химические группы: 1) глиноземистые маложелезистые (алапаевский тип), 2) хромистые маложелезистые (южнокемпирсайский тип), 3) средне- и высокохромистые железистые (войкарский тип). Химическая градация хромшпинелей довольно слабо коррелирует с положением рудопроявлений в массиве: если большинство анализов из хромититов Южного рудного поля концентрируется в полях составов глиноземистых руд Алапаевского массива, то химизм хромшпинелей из остальных рудных полей существенно перекрываются как между собой, так и с Южным рудным полем.

Большая часть хромшпинелей Южного рудного поля – месторождения Трестовское, Петуховское I, Боровское, Серафимовское, Артельное, Пьяный Лог, Элен, Карасьи (за исключением Карасьего V), Грошевские, Чадовские (исключая Чадовское III) – располагается в области составов Северного рудного поля Алапаевского массива, остальные близки к хромшпинелям Южного рудного поля того же массива (рис. 6 а-в). Лишь хромшпинели рудопроявления Чадовского III имеют существенно более хромистый состав, аналогичный хромшпинелям Курмановского месторождения Алапаевского массива и приближаются к составам Южнокемпирсайского рудного поля (рис. 6 в). В целом, в пределах каждого рудопроявления состав хромшпинели не выходит за пределы химической группы, что свидетельствует об одноактном характере процесса рудообразования.

Несомненно гетерогенны хромшпинели Северного рудного поля (рис. 6 е). Здесь, наряду с типичными для Южного поля глиноземистыми составами (рудопроявления Лебяжинское II, Корелы, Зяблая Елань, Зверевское), в двух месторождениях (Лебяжинское III, Чемерисское II) руды сложены исключительно высокохромистыми маложелезистыми хромшпинелями с южнокемпирсайскими трендами вариаций состава. Составы хромшпинелей этих групп месторождений не перекрываются, в том числе в пределах одного хромитопроявления – Корелы II. Оно единственное в Северном рудном поле, где обнаружены два химических типа хромшпинели – высокохромистый и глиноземистый.

С точки зрения разнообразия химического состава рудообразующих хромшпинелей,

особый интерес представляют хромитопроявления Центрального рудного поля (рис. 6 г, д). Здесь объединены рудопроявления всех трех химических групп хромшпинелей – глиноземистой (Абрамовское, У Алапаевского тракта, 35 квартал, 51 квартал, Каменное, Куражинское, Ивановское), высокохромистой (Талицкое I, Талицкое II) и железистой (Талицкое III). В части рудопроявлений налицо принадлежность хромшпинелей к разным химическим группам – к глиноземистой и высокохромистой (Новое Дело, Яичное) – картина, ранее наблюдавшаяся нами в массивах Алапаевском (Курмановское месторождение) и Восточнотагильском (месторождения Кутузовское I и Сионское III). Отсутствие хромшинелей промежуточного состава подчеркивает гетерогенность рудообразующего процесса.

Причины появления необычных для массива составов железистых хромшпинелей могли быть две: влияние либо близ расположенного метадунит-клинопироксенит-габбрового комплекса, либо пострудного зеленосланцевого метаморфизма. Для решения вопроса были составлены составы хромшпинелей из руд и вмещающих пород в координатах $\text{Cr}_2\text{O}_3 - \text{Al}_2\text{O}_3$ (рис. 7), позволяющих оценить количество Fe_2O_3 в составе хромшпинели – показателя степени ее метаморфизма. На диаграмме в качестве примера неметаморфизованных ультрамафитов приведены данные по гарцбургит-лерцолитовой серии массива Южный Крака. Отчетливо видно, что часть акцессорной хромшпинели Первомайского массива, независимо от рудного поля, содержит повышенные массовые доли окиси железа (рис. 7 а). Несомненно, что это результат интенсивного метаморфизма зеленосланцевой фации (прежде всего антигоритовой серпентинизации), сопровождающегося повышенной активностью кислорода. В то же время подавляющая часть рудообразующих хромшпинелей по количеству Fe_2O_3 практически не отличается от южнокракинских, что свидетельствует об их относительной устойчивости к метаморфизму. Различная реакция на метаморфизм обусловлена разными количественными соотношениями хромшпинелей и силикатов в породах и рудах. Подтверждением служит рис. 8, связывающий количество магнетита – продукта зеленосланцевого метаморфизма – с плотностью образцов: из рисунка следует, что содержание магнетита в рудах существенно ниже, чем в породах. Из общей картины выпа-

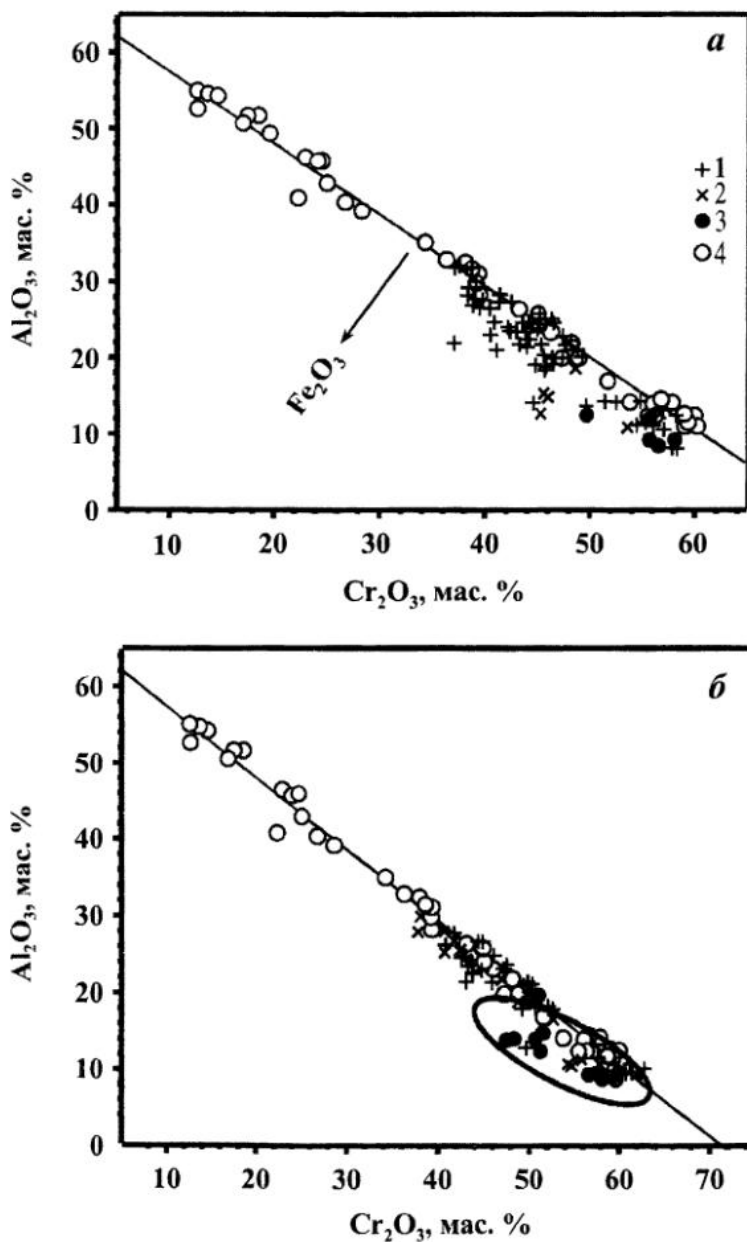


Рис. 7. Составы акцессорных (а) и рудных (б) хромшпинелей Первомайского массива в сопоставлении с составами акцессорных хромшпинелей массива Южный Крака.

1-2 – рудные поля: 1 – Южное и Северное, 2 – Центральное; 3 – Талицкие месторождения; 4 – Южный Крака. Эллипс – поле составов рудообразующих хромшпинелей Талицких месторождений.

дают рудообразующие хромшпинели талицких месторождений, содержащие существенно большие количества Fe_2O_3 (рис. 7 б); в них наблюдается типичная для метаморфизованных хромшпинелей обратная корреляция между концентрациями глинозема и трехокиси железа (ось эллипса поля талицких хромшпинелей ориентирована под углом к средней линии составов неметаморфизованных хромшпинелей массива

Южный Крака). Таким образом, можно с значительной долей уверенности утверждать, что вхождение повышенных концентраций Fe_2O_3 в рудообразующие хромшпинели талицких месторождений обусловлено не зеленосланцевым метаморфизмом, а влиянием интрузии габбро. Т.к. при метаморфизме хромшпинели параллельно с ростом трехокиси железа происходит увеличение его закиси, то становится понятной повышенная закисная железистость талицких хромшпинелей по сравнению с другими рудопроявлениями массива. Можно предполагать, что изначально составы талицких хромшпинелей были существенно более магнезиальными и глиноземистыми: в Талицком II они были

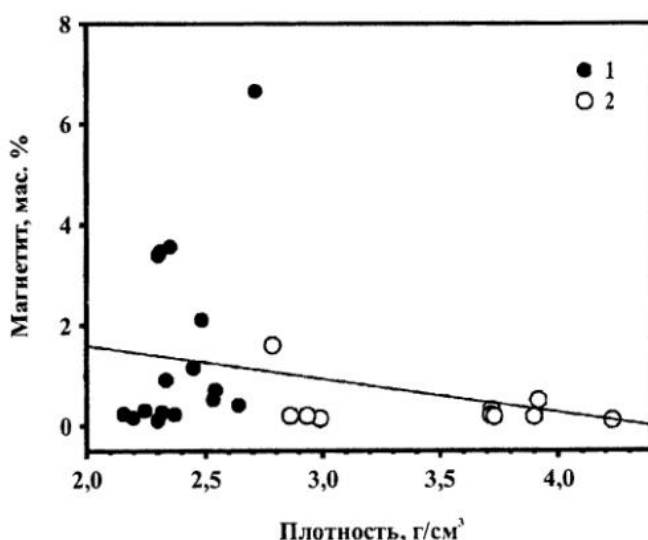
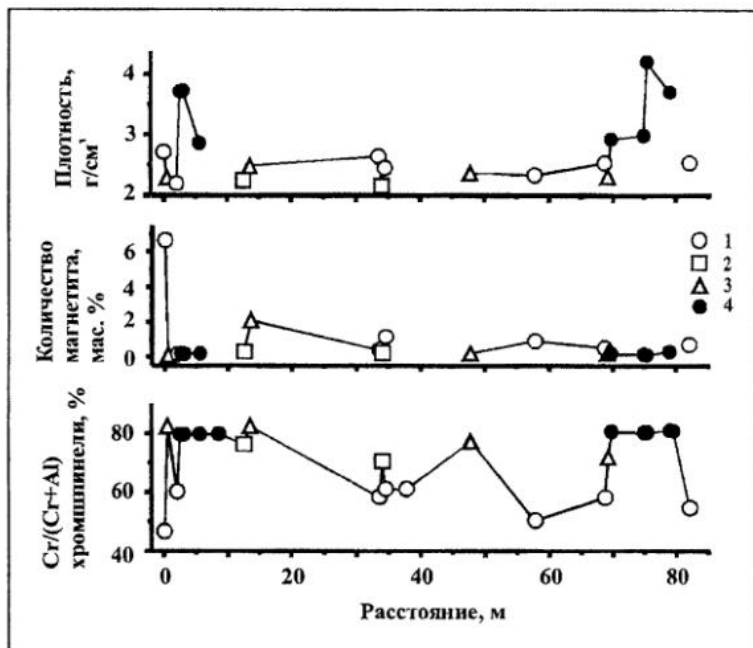


Рис.9. Вариации состава хромшпинели, массовых долей магнетита и плотности в рудах и вмещающих ультрамафитах месторождения Лебяжинское III.

1 – гарцбургиты, 2 – Rx-дунины, 3 – дуниты, 4 – хромититы

близки по составу рудам Чадовского III, в Талицком III – глиноzemистым рудам Южного рудного поля. Под влиянием габбро, помимо увеличения железистости, произошел опережающий вынос глиноэма и вследствие этого – возрастание хромистости хромшпинели.

Вариации состава хромшпинели в пределах хромитопроявления можно проследить на примере месторождения Лебяжинское III (рис. 9). Вмещающие породы представлены в разной степени антигоритизированными ультрамафитами и хризотил-лизардитовыми серпентинитами. Судя по вариациям состава акцессорной хромшпинели, первичные ультрамафиты представляли собой дифференцированный дунит-гарцбургитовый комплекс, аналогичный рудоносному комплексу Главного рудного поля Кемпирсайского массива. К настоящему времени в карьерах остались не выработанными два рудных тела протяженностью примерно 10 м каждое, сложенные хромититами разной густоты вкрапленности – от дунитов с повышенной вкрапленностью до густовкрапленных; преобладают средневкрапленные руды. В ненарушенных тектоникой участках дуниты с повышенной вкрапленностью постепенно переходят к убого- и редковкрапленным; богатые руды с вмещающими породами имеют резкие контакты. Породы и руды в сильной степени тектонизированы: антигоритизированные ультрамафиты, как правило, слагают будины, окруженные хризотил-лизардитовыми серпентинитами, хромититы местами рассланцованны с образованием лейст размером до 1,5 см. Данные замеров плотности хромититов свидетельствуют о широком диапазоне вариаций вкрапленности хромшпинели; при этом величина ее хромистости чрезвычайно выдержанна и численно близка к составу южнокемпирской. Таким образом,



можно утверждать, что по составу рудовмещающих ультрамафитов и рудообразующей хромшпинели месторождение Лебяжинское III аналогично месторождениям Главного рудного поля Кемпирсайского массива.

О генезисе хромитового оруденения

Приведенные выше данные свидетельствуют о гетерогенном характере хромитового оруденения на Первомайском массиве. Есть основания выделять латераль-секреционное и метасоматическое генетические типы оруденения.

Латераль-секреционное оруденение. Тождество состава хромшпинелей руд и вмещающих пород, а также текстур руд наиболее изученного месторождения Лебяжинское III с месторождениями Главного рудного поля Кемпирсайского массива позволяет предполагать принадлежность тех и других к одному генетическому типу. В обоих массивах вариации состава высокохромистой рудообразующей хромшпинели подчинены трендам $\text{Al} \rightarrow \text{Cr}$, $\text{Fe}^{2+} \rightarrow \text{Mg}$. Детальное изучение поведения элементов семейства железа в окорудном пространстве, состава цемента руд и редокс-состояния хромититов и вмещающих пород кемпирсайских месторождений позволило обосновать латераль-секреционный генезис уникальных кемпирсайских месторождений, согласно которому эти месторождения есть результат переотложения хрома из

нижележащих и боковых ультрамафитов под действием горячих восстановленных флюидов [Штейнберг и др.; 1990; Чашухин и др., 1996; Коротеев и др., 1997; Чашухин, 1999]. По-видимому, руды месторождения Лебяжинское III и некоторых других (Талицкое II, Корелы III, Чадовское III) образовались аналогичным путем. Источником хрома для руд, по-видимому, служили непромышленные дунит-хромититовые серии, реликты которых сохранились на месторождении Лебяжинское III.

Метасоматическое оруденение. Глиноземистое оруденение по составу вмещающих пород и рудообразующих хромшпинелей аналогично таковому Алапаевского массива [Чашухин и др., 2001]. Тренды состава рудообразующей хромшпинели близки западнокемпирсайским: $\text{Al} \rightarrow \text{Fe}^{3+}$ при $\text{Cr} \equiv \text{const.}$, $\text{Fe}^{2+} \rightarrow \text{Mg}$, [Чашухин и др., 1994]. Как и для алапаевских рудопоявлений, для первомайских обычны сплошные руды, линзовидная форма тел, близость в пределах хромитопоявления составов хромшпинелей из руд и вмещающих гарцбургитов и дунитов. Последнее свидетельствует о метасоматической природе дунитов и глиноземистого хромитового оруденения в обоих массивах, выраженной в метаморфической дифференциации рудовмещающих гарцбургитов. В отличие от латераль-секреционного, этот тип оруденения сопровождается окисленным составом флюида [Чашухин и др., 1996]. Метаморфической дифференциации подверглись и латераль-секреционные руды с формированием на их месте сплошных хромититов и метасоматических дунитов.

О масштабах оруденения

Различие Кемпирсайского и Первомайского массивов заключается в принципиально разном петрографическом разрезе толщи ультрамафитов. Если в первом степень магматического истощения легкоплавкими компонентами с глубиной увеличивается (кракинско-нуралинский – гарцбургит-лерцолитовый – тип разреза), то во втором уменьшается (офиолитовый – гарцбургитовый – тип разреза). На наш взгляд, это различие чрезвычайно важно для оценки потенциальной хромитоносности Первомайского и остальных офиолитовых массивов Среднего Урала. Для образования хромитовых концентраций необходимо выполнение, по крайней мере, двух условий: 1) перевод малоподвижной

силикатной формы хрома в подвижную оксидную, 2) достаточные для образования месторождения масштабы этого процесса. Наиболее мощным процессом является магматическое деплетирование верхнемантийного вещества. Для южнокемпирсайского рудного поля эти условия полностью реализованы. В среднеуральских массивах, в том числе в Первомайском, вследствие петрографической зональности противоположной кемпирсайской, обогащающие акцессорной хромшпинелью породы залегают в самых верхах разреза, что существенно ограничивает объемы потенциального источника легкоподвижного хрома. Этот факт, наряду с существенно более глубоким, чем в Кемпирсайском массиве, уровнем эрозионного среза, является неблагоприятным фактором для образования «южнокемпирсайских» объемов высокохромистого оруденения в среднеуральских массивах и их сохранности. О разном уровне эрозии свидетельствуют результаты измерения по поверхности степени ранней серпентинизации: если в Кемпирсайском массиве обнажаются, как правило, нацело серпентинизированные породы, то в среднеуральских степень серпентинизации не превышает 70-80 мас. %.

Что касается метасоматического оруденения, то вследствие локальности процесса метаморфической дифференциации его масштабы существенно меньше, чем латераль-секреционного. Об этом свидетельствуют полувековая история поисков и эксплуатации среднеуральских месторождений и результаты разведочных работ в аналогичном по составу ультрамафитов западном блоке Кемпирсайского массива.

Выводы

1. Рудовмещающие ультрамафиты Первомайского массива сложены породами дунит-гарцбургитового комплекса с постепенным увеличением степени дифференцированности с юга на север.

2. В первичном залегании степень магматического деплетирования гарцбургитов массива с глубиной уменьшается – картина, типичная для офиолитовых разрезов и обратная южнокемпирсайской, что необходимо учитывать при прогнозной оценке хромитоносности.

3. Хромитовое оруденение массива гетерогенно. Как и на Кемпирсайском массиве, в Первомайском есть основания выделять ранний

латераль-секреционный и поздний метасоматический типы оруденения. Особенностью массива является то, что в пределах одного хромитопроявления нередко совмещены разные генетические и химические типы оруденения.

Латераль-секреционное оруденение локализовано в северной части массива и представлено высокохромистыми рудами. Особенностью оруденения являются преимущественно вкрапленные текстуры руд, характерные для хромититов кемпирскойского типа.

Метасоматическое оруденение развито в пределах всего массива и является продуктом локальной метаморфической дифференциации вмещающих ультрамафитов и латераль-секреционного оруденения.

Часть рудопроявлений обоих генетических типов под влиянием габбро претерпели метаморфизм, выразившийся в увеличении железистости и хромистости рудообразующей хромшпинели. Можно предполагать, что метаморфическая дифференциация ультрамафитов предшествовала внедрению габбро.

Ультрамафиты Первомайского массива вместе с хромитовым оруденением испытали интенсивный динамо-термальный метаморфизм зеленосланцевой фации в условиях повышенного потенциала кислорода с образованием на месте хромшпинели клинохлор-Сг-магнетитового агрегата.

Работа выполнена при финансовой поддержке РФФИ, проекты 01-05-96444, НШ-85.2003 5.

Список литературы

Коротеев В.А., Чащухин И.С., Волченко Ю.А. Развитие представлений А.Г. Бетехтина о генезисе хромитового оруденения в альпинотипных ультрамафитах // Основные проблемы в учении о магматогенных рудных месторождениях. Тез. докл. Международн. симп. М.: ИГЕМ РАН, 1997. С. 272-273.

Чащухин И.С. Хромиты // Месторождения полезных ископаемых Урала. Екатеринбург: УрО РАН, 1999. С. 51-63.

Чащухин И.С., Волченко Ю.А., Уймин С.Г., Неуструева И.И. Новые данные по геологии и рудоносности северной части Кемпирского массива // Ежегодник 1993 ИГГ. Екатеринбург: УрО РАН, 1994. С. 143-146.

Чащухин И.С., Вотяков С.Л., Уймин С.Г. и др. ЯГР-спектроскопия хромшпинелидов и проблемы окситермобарометрии хромитоносных ультрамафитов Урала. Екатеринбург: УрО РАН, 1996. 136 с.

Чащухин И.С., Сурганов А.В., Булыкин Л.Д. и др. Закономерности состава акцессорного и рудообразующего хромшпинелида в ультрамафитах Алапаевского массива // Ежегодник 2001. Екатеринбург: ИГГ УрО РАН, 2002. С. 281-289.

Чащухин И.С., Сурганов А.В., Гмыра В.Г. и др. Закономерности состава акцессорного и рудообразующего хромшпинели в ультрамафитах Восточно-тагильского массива // Ежегодник 2002. Екатеринбург: ИГТ УрО РАН, 2003. С. 150-158.

Штейнберг Д.С., Чащухин И.С., Уймин С.Г. Положение хромитового оруденения в истории формирования альпинотипных гипербазитов // Геохимия рудных элементов в базитах и гипербазитах. Критерии прогноза. Материалы Всесоюзного совещания «Геохимия и критерии рудоносности базитов и гипербазитов». Иркутск: ИГ СО РАН. 1990. С. 166-170.